

ケーブル橋の防振についての基礎的考察

東北工業大学 正員 高橋龍夫

〃 〃 松山正將

〃 〃 山田俊次

1. はじめに

この研究は、現在大径間構造としての吊橋や斜張橋がもつている問題、特に、振動問題、スパンの長大化による主塔大型化の問題、補剛時の自重増大化問題等を解消する一方法として、ケーブル橋の実現性を試みるものである。

ここで称するケーブル橋とは、吊橋や斜張橋の主塔を必要としない、いわば、吊橋と吊床版橋との中间的な構造を有する新しい構造形式を持つ構造である。それは、まず引張力を加える事で、サゲを小さくしたケーブル上に、床組又は補剛術を載せた構造となり、サゲに吊橋と吊床版橋の中間の値を有するものとなる。橋の剛性を増すためにサゲを小さくする事で、ケーブルの引張力は吊橋より非常に大きくなる。ここで、この強大なケーブルの引張力を吸収する問題が提起されてくるが、これ等、ケーブルの吸収問題及び、床組、補剛術等の取り付け問題は、静力学的な面で別に検討を加える事とし、本報告は、動力学的な面からのケーブル橋の可能性に検討を加えるものである。

先づ無補剛ケーブル橋についての振動問題を、防振方法を含めて検討する。ケーブル橋の振動時の引張力の増分については、依次のものほど大きくなるので、依次の振動をあつかった。又、防振方法としては、文献等で、その有効性が確認されている速度比例型オイルダンパーを用いる事にした。

2. 解析式及び実験方法について

2-1 解析式(1) 水平等分布荷重を假定したケーブルの運動方程式

図-1に示すケーブルの運動方程式を解く

① 上に次の仮定をもつて解く。仮定①
微小振動をあつねりでx方向の変位は無いとする。②振動は極めて微小振幅とするので、図-2に示される変形界とカーブ(変形後)は $\phi \approx \varphi$
とする。③高次の微小項は省略する。

$$\frac{m\frac{\partial^2 \varphi}{\partial x^2}}{EAc} = H_p \frac{\partial^2 \varphi}{\partial x^2} + H_w \frac{\partial^2 \varphi}{\partial x^2} - H_p \frac{\varphi}{H_w} : \\ H_p = \frac{EAc}{L^2} \cdot \frac{H_w}{H_w} / f^2 \quad : [L_E = \int_0^L (\frac{dx}{ds})^2 ds]$$

式は非線形の連立偏微分方程式となるが、微小振動を対象としているので。

今回は、エヌルゼー法にて線形近似化を試み、依次振動における、引張力の増分、振動モード、サゲとの関係を、実験値と比較する事を主眼とした。

L: スパン長、Ac: ケーブル断面積、Hw: 水平引張力、W: 単位長当たりの荷重、f: 振動振幅、
s: サゲ、Ec: ケーブルのヤング率、Hp: 引張力の増分、m: 質量、

解析式(2) 防振のために粘性抵抗を付加した場合、

基本的な例として、図-1に示される様に、スパン中央に $P \sin \omega t$ なる正弦波状の集中力を作用させて、粘性抵抗を対称に設置した時の運動方程式は、次の様にあらわされる。

$$\frac{m\frac{\partial^2 \varphi}{\partial x^2}}{EAc} - H_p \frac{\partial^2 \varphi}{\partial x^2} + C \frac{\partial \varphi}{\partial t} + \{ S(x-x_0) + S(x-L+x_0) \} = P \sin \omega t$$

なお、ダンパーを取り付けた場合の計算値と実験値の比較は、当面省略する予定である。

2-2. 実験方法について

簡単なケーブル橋の模型を作成し、実験に供した。無補剛ケーブル橋の標準振動図を図-4に示す。主な諸元は：

スパン長 = 1,000 cm, ケーブル幅 22 cm, $W \approx 0.17 \text{ cm}$ である。又、引張力の増分測定には、テンションメータを製作し、サグ調節には、ターンベックルを用いた。なお、初期振動は、スパン中央を人力で加振し、充分時間経て過渡振動が減衰した後、測定を行った。

図-4示す印は、実験設置点である。

3. 防振用ダンパーについて

液体の粘性を利用するダンピングダンパーは、速度に比例するものであるので、解析上便利である。そこで、ピストン式のオイルダンパーを作成し、シリコンオイルの粘性係数を変化させて、その消音性を調べる。ダンパーについては、計算値との比較のために、さきべくフーロン減衰を小さくする様に設計した。ピストンシリンドラーはアクリル樹脂製、セストンは真鍮である。なお、基礎的防振実験を行った後、スパンの右端にダンパーを取り付けて実験を行った。

4. 結果及び考察

ケーブル橋の低次の対称振動についての結果を次に示す。

図-5

(1)引張力の増分について：実験 H_{sp} と計算 H_{sp} について；

図-1に示す。 H_{sp} は H_{sp} で 0.8 ～ 0.9 の範囲にある。

これ等は、近似計算により別途求めた振動数が実験値よりも大きい事がかりと考えられる。加えて増分の値は数 kg とより小さな値であるので、引張の増分を工場で使用したテンションメーター等の不備も考慮される。又、サグの増加に比しない、反重力方向に変化する時、引張力がそれに比例して増えないが、これが小さい時は、増加する傾向にある。この事は、 H_{sp} の成立する範囲が、変位の大きいこと、サグによって規定されることを定性的に示していると言えられる。

(2)振動数について：実験値と計算値との差は 5 ～ 7 % 生じており、サグが増加するに従い誤差も大きくなつて来る。これは、サグの増加に伴う H_{sp} の減少によって、 H_{sp} の影響が入ってくるものと思われる。

(3)振動モードについて：対称一次モードは、パラメータ 3 項採用した時のと一致する傾向にある。二次モードは 2 項採用のものと近い値であるが、支承付近で生ずる誤差が大きい。これ等は、実際には、高次振動が生じているので、モードの假定にも一考を要する。又、振幅についても、下方向の振幅が上方向よりも、やや大となっている。振動時の節となるのは、上方に向かって移動している。これは、 H_{sp} の増減に伴う

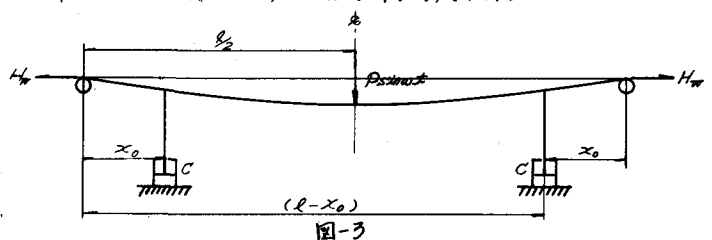


図-3

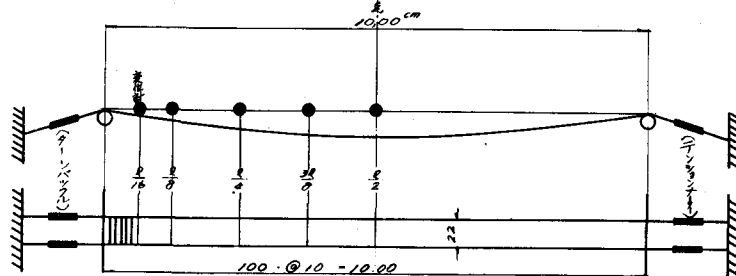
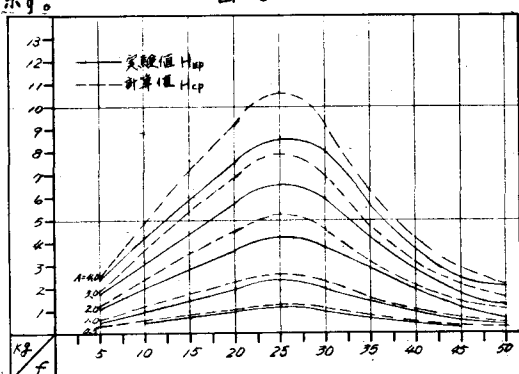


図-4



ケーブルの伸びの差に生ずるものと考えられる。

(4) タンパーをかけた場合:

ここでは、サゲ10cmの場合の、振幅と時間の関係を図-8、対数減衰率について図-9に示す。資料が少ないので不完全的であるが、タンパーの振動結果がケーブル橋の防振についても参考であると言えられる。しかし、前述した様にタンパー取付部の振動形状をより詳しく定量的に把握し、提起された橋との問題は、タンパー取付大場合に、どの様に変化するのか、解析方法とともに検討しなければならない。

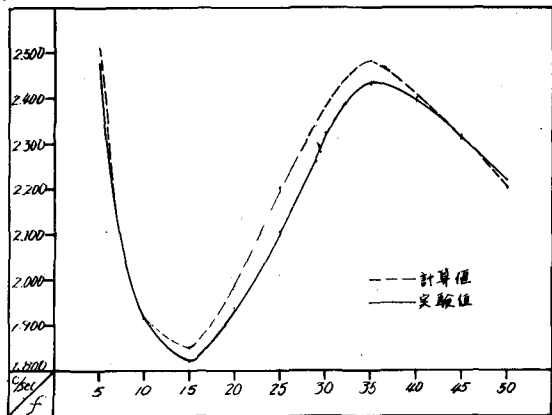


図-6

又、補剛用ケーブル橋についても、同様に比較実験が必要となる。

参考文献

- 1) 吉原健雄「ケーブル橋の研究について(東北太田修論)」(昭和44年度)
- 2) 食品高橋監修「地盤動力吸収装置の振動土木学会論文集」(昭和47年)
- 3) 食品高橋監修「地盤動力吸収装置の振動特性」(昭和48年)講演集
- 4) 東北大学太田修論文、野村、佐藤(早)、山井、佐藤(日)

図-8

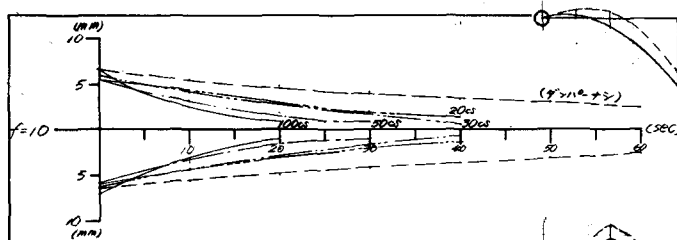


図-9

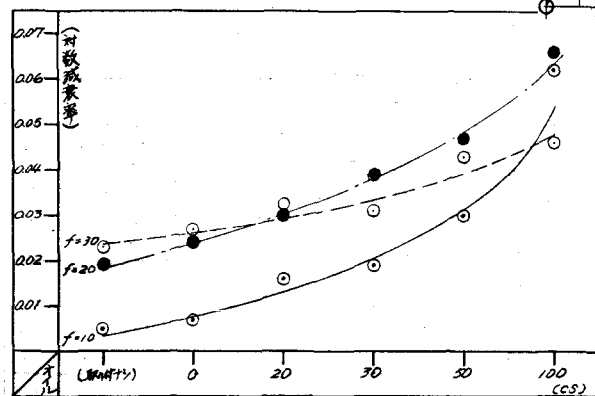


図-6

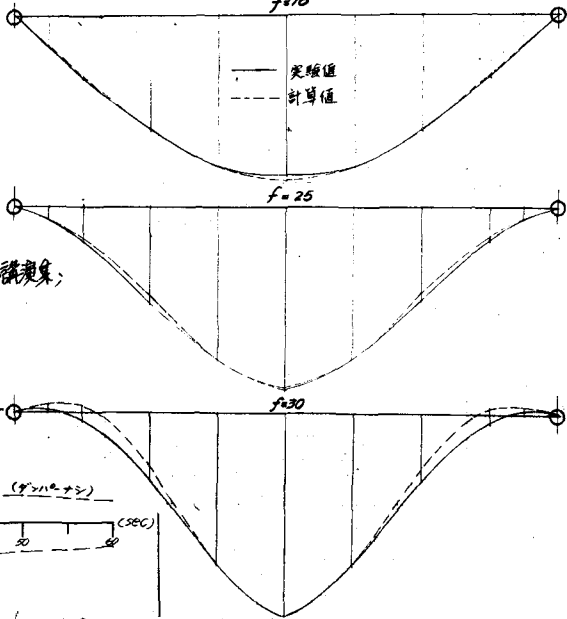


図-6

図-7